



บทความวิจัย

การสั่นอิสระด้วยแอมเพลจูดขนาดใหญ่ของโครงสร้างโดยรูปทรงกลมที่มีความหนาแปรเปลี่ยน

คุณกร ไชยเดชาธร ชาญชัย เงาะปาก และ วีรพันธุ์ เจียมมีปรีชา

สาขาวิศวกรรมโยธา คณะวิศวกรรมศาสตร์และเทคโนโลยี มหาวิทยาลัยเทคโนโลยีราชมงคลล้านนา

กรกต เลิศชัยพงศ์ และ วาริน ชุมขุนทด

สาขาวิศวกรรมสำรวจ คณะวิศวกรรมศาสตร์และเทคโนโลยี มหาวิทยาลัยเทคโนโลยีราชมงคลล้านนา

สิทธิศักดิ์ แจ่มนาม*

ภาควิชาชีวกรรมโยธา คณะวิศวกรรมศาสตร์ มหาวิทยาลัยเทคโนโลยีพระจอมเกล้าฯ ปทบ. ประเทศไทย

* ผู้นิพนธ์ประสานงาน โทรศัพท์ 0 2555 2000 ต่อ 8126 อีเมล: sittisak.j@eng.kmutnb.ac.th DOI: 10.14416/j.kmutnb.2024.08.007

รับเมื่อ 8 มีนาคม 2566 แก้ไขเมื่อ 4 พฤษภาคม 2566 ตอบรับเมื่อ 1 มิถุนายน 2566 เผยแพร่องค์กร 15 สิงหาคม 2567

© 2025 King Mongkut's University of Technology North Bangkok. All Rights Reserved.

บทคัดย่อ

บทความนี้ นำเสนอการวิเคราะห์การสั่นอิสระด้วยแอมเพลจูดขนาดใหญ่ของโครงสร้างโดยรูปทรงกลมที่มีความหนาแปรเปลี่ยน พังก์ชันความหนาของโครงสร้างโดยเขียนในเทอมของค่าพารามิเตอร์พื้นผิวพลังงานความเครียด เนื่องจาก เมมเบรนและโมเมนต์ตัดถูกนำไปใช้ในการออกแบบโครงสร้างโดยรูปทรงกลมที่มีความหนาแปรเปลี่ยน ใช้วิธีไฟโนต์เอลิเมนต์ อาศัยหลักการของงานสมมติฐานในเทอมของค่าการเสียรูปของโครงสร้างเปลือกบาง การคำนวณหาค่าความถี่ธรรมชาติและ โหนดการสั่นอิสระด้วยแอมเพลจูดขนาดใหญ่ของโครงสร้างโดยรูปทรงกลมที่มีความหนาแปรเปลี่ยน ใช้วิธีไฟโนต์เอลิเมนต์ แบบไม่เป็นเชิงเส้นสำหรับชั้นส่วนคานแบบ C² ร่วมกับกระบวนการทำซ้ำโดยตรงในการหาผลลัพธ์เชิงตัวเลข ผลการวิเคราะห์ เชิงตัวเลขพบว่า ค่าความถี่ธรรมชาติกับโหนดการสั่นอิสระมีค่าใกล้กับงานวิจัยที่ผ่านมาในอดีต สำหรับกรณีที่โครงสร้างโดย ความหนาคงที่ตลอดเส้นโค้งในแนวพิกัดเมอร์เดียน ผลของการแปรเปลี่ยนค่าอัตราส่วนความหนา มุ่งร่องรับส่วนโค้ง และ มอดูลัสยึดหยุ่นที่มีต่อค่าความถี่ธรรมชาติ ภายใต้การสั่นอิสระด้วยแอมเพลจูดขนาดใหญ่ได้ถูกนำเสนอในบทความนี้

คำสำคัญ: การสั่นอิสระด้วยแอมเพลจูดขนาดใหญ่ โครงสร้างโดยรูปทรงกลม ความหนาแปรเปลี่ยน พังก์ชันพลังงาน วิธีไฟโนต์เอลิเมนต์แบบไม่เป็นเชิงเส้น

การอ้างอิงบทความ: คุณกร ไชยเดชาธร, ชาญชัย เงาะปาก, วีรพันธุ์ เจียมมีปรีชา, กรกต เลิศชัยพงศ์, วาริน ชุมขุนทด และ สิทธิศักดิ์ แจ่มนาม, “การสั่นอิสระด้วยแอมเพลจูดขนาดใหญ่ของโครงสร้างโดยรูปทรงกลมที่มีความหนาแปรเปลี่ยน,” วารสารวิชาการพระจอมเกล้าฯ ปทบ. ปีที่ 35, ฉบับที่ 1, หน้า 1-15, เลขที่บหก. 251-116811, ม.ค.-มี.ค. 2568.



Large Amplitude Free Vibration of Spherical Dome Structures with Variable Thickness

Komkorn Chaidachatorn, Chanchai Ngohpok and Weeraphan Jiammeepracha

Department of Civil Engineering, Faculty of Engineering and Technology, Rajamangala University of Technology Isan Nakhon Ratchasima, Thailand

Korakot Lerdchaipong and Warin Chupkhunthod

Department of Survey Engineering, Faculty of Engineering and Technology, Rajamangala University of Technology Isan Nakhon Ratchasima, Thailand

Sittisak Jamnam*

Department of Civil Engineering, Faculty of Engineering, King Mongkut's University of Technology North Bangkok, Bangkok, Thailand

* Corresponding Author, Tel. 0 2555 2000 Ext. 8126, E-mail: sittisak.j@eng.kmutnb.ac.th DOI: 10.14416/j.kmutnb.2024.08.007

Received 8 March 2023; Revised 4 May 2023; Accepted 1 June 2023; Published online: 15 August 2024

© 2025 King Mongkut's University of Technology North Bangkok. All Rights Reserved.

Abstract

Large amplitude free vibration of a spherical dome with variable thickness is presented in this paper. The thickness function of the spherical dome is written in terms of surface parameters. Strain energies due to membrane and flexural rigidities are considered in the variational formulation. The energy functional of the spherical dome system is written in terms of the shell displacements based on the principle of virtual work. Natural frequencies and corresponding mode shapes for large amplitude free vibration are obtained by nonlinear finite element method via C^2 beam elements, and a direct iterative procedure is used in this study. The validation of the present formulation is found to be in close agreement with those in existing literature for a spherical dome with thickness constant along the meridian curve. Finally, the parametric study on the thickness ratios, central angles, and elastic modulus on the large amplitude free vibration of a spherical dome with variable thickness is reported in this paper.

Keywords: Large Amplitude Free Vibration, Spherical Dome, Variable Thickness, Energy Functional, Nonlinear Finite Element Method



1. บทนำ

โครงสร้างเปลือกบางหรือโครงสร้างโดยรูปทรงกลม ในงานวิศวกรรมโยธา สามารถวิเคราะห์เป็นปัญหาแบบสมมาตรรอบแกนหมุน (Axisymmetric Problem) ได้ ในงานวิจัยของ Kunieda [1] Yasuzawa [2] Wang และคณะ [3] วีรพันธุ์ และคณะ [4] และ วีรพันธุ์ และคณะ [5] แต่การวิเคราะห์และออกแบบโครงสร้างเปลือกบางหรือโครงสร้างโดยม จะไม่สามารถทำการพิจารณาผลตอบสนองทางสถิตศาสตร์ (Static Response) เพียงอย่างเดียว ในทางปฏิบัติ วิศวกรโยธา จำเป็นจะต้องพิจารณาผลตอบสนองทางด้านพลศาสตร์ (Dynamic Response) ของโครงสร้าง เนื่องจาก แรงกระแทกแผ่นดินไหว แรงลม หรือแรงอื่น ๆ ซึ่งแรงกระทำแบบพลศาสตร์เหล่านี้ เป็นสาเหตุหลักที่ทำให้โครงสร้างเกิดความเสียหาย โดยเฉพาะในกรณีที่มีความถี่ธรรมชาติ ของโครงสร้างมีค่าใกล้เคียงกับค่าความถี่ของแรงกระทำจากภายนอก ทำให้โครงสร้างเกิดปัญหาการสั่นพ้อง (Resonance Problem) ทำให้เกิดความเสียหายอย่างมากต่อโครงสร้าง และอาจส่งผลกระทบถึงปัญหาด้านสิ่งแวดล้อมตามมาอีกด้วย ดังแสดงในงานวิจัยของ Kunieda [6] และ Leissa [7] เป็นต้น พบว่า ยังเป็นการศึกษาเฉพาะปัญหาการสั่นอิสระด้วยแอมเพลจูดขนาดเล็ก (Small Amplitude) ต่อมาก Gautham และ Ganesan [8] ได้นำเสนอการสั่นอิสระของโครงสร้างโดยรูปทรงกลมแบบตื้น ที่ทำมาจากวัสดุที่มีสมบัติเหมือนกันทุกทิศทาง (Isotropic Material) และวัสดุเชิงประกอบ (Laminate Material) โดยใช้วิธีไฟโนต์เอลิเมนต์ (Finite Element Method) และรวมผลของการเสียรูป เนื่องจากแรงเฉือนอันดับที่หนึ่ง (First-order Shear Deformation Theory; FSDT) ต่อมาก Artioli และ Viola [9] ได้รายงานผลการวิเคราะห์การสั่นอิสระของโครงสร้างโดยรูปทรงกลมโดยวิธี Generalized Differential Quadrature (GQD) จากนั้น Lee [10] ได้นำเสนอวิธี Pseudospectral ในการวิเคราะห์การสั่นอิสระของโครงสร้างโดยรูปทรงกลม เช่นกัน ในขณะที่การวิเคราะห์การสั่นอิสระของโครงสร้างโดยรูปทรงกลมแบบเต็มใบ ได้ถูกนำเสนอในงานวิจัยของ Duffey และคณะ [11] โดยทำการศึกษาโดยมุ่งการสั่นอิสระของ

โครงสร้างโดยแบบเต็มใบ และเปรียบเทียบกับสมการของ Wilkinson [12] พบว่า ค่าความถี่ธรรมชาติแบบสมมาตรตามแนวแกนในแบบล่างและบน (Lower and Upper Branches) มีค่าสอดคล้องกัน ในปี 2017 ได้มีการนำเสนอสมการสำหรับการวิเคราะห์ เพื่อแก้ปัญหาสมการอนุพันธ์ของ การสั่นอิสระของโครงสร้างโดยรูปทรงกลมที่มีสมมติฐานบนความสมมุติของ Love-Kirchoff และ Donnell-Mushtari-Vaslov ในงานวิจัยของ Bryan [13] สำหรับการวิเคราะห์การสั่นอิสระด้วยแอมเพลจูดขนาดใหญ่ ได้เริ่มนิยมการศึกษาในงานวิจัยของ Varadan และ Pandalai [14], Sinharay และ Banerjee [15] และ Sathyamoorthy [16] แต่เป็นกรณีที่ความหนาของโครงสร้างมีค่าคงที่ไม่เปลี่ยนแปลง ตามแนวพิกัดเมอร์ริเดียน นอกจากนี้ ยังมีงานวิจัยของ วีรพันธุ์ และ สมชาย [17] ได้ทำการศึกษาค่าความถี่ธรรมชาติ และ荷模ดการสั่นอิสระของโครงสร้างโดยบรรจุของเหลวภายใน โดยพิจารณาเฉพาะผลของเมมเบรนเพียงอย่างเดียว จากนั้น วีรพันธุ์ และ สมชาย [18] ได้ทำการศึกษาผลของการแปรเปลี่ยนขนาดของมุmurongรับส่วนโค้ง ที่มีต่อค่าความถี่ธรรมชาติแบบไม่เป็นเชิงเส้นของโครงสร้างโดยบรรจุของเหลว

จากการวิจัยที่ผ่านมา สำหรับโครงสร้างโดยพบว่า การพิจารณาผลการเปลี่ยนแปลงความหนาตามแนวพิกัดเมอร์ริเดียนที่มีต่อค่าความถี่ธรรมชาติ และ荷modการสั่นอิสระด้วยแอมเพลจูดขนาดใหญ่ของโครงสร้างโดยมีน้อยมาก ดังนั้นงานวิจัยนี้จึงเป็นการพัฒนาแบบจำลองคณิตศาสตร์สำหรับวิเคราะห์การสั่นอิสระด้วยแอมเพลจูดขนาดใหญ่ของโครงสร้างโดยรูปทรงกลมที่มีความหนาแปรเปลี่ยนในงานวิศวกรรมโยธาโดยใช้ทฤษฎีเรขาคณิตเชิงอนุพันธ์ [19], [20] พลังงานความเครียด เนื่องจากเมมเบรนและโมเมนต์ดัด เอียนได้ในรูปแบบของสมการแปรผัน (Variational Formulation) การเอียนฟังก์ชันพลังงานของระบบโครงสร้างโดยรูปทรงกลมอาศัยหลักการของงานเสมือนในเทอมของค่าการเสียรูปของโครงสร้างเปลือกบาง [21], [22] การคำนวณหาค่าความถี่ธรรมชาติ และ荷modการสั่นอิสระด้วยแอมเพลจูดขนาดใหญ่ ของ



โครงสร้างโดมรูปทรงกลมที่มีความหนาแปรเปลี่ยนได้ ใช้วิธีไฟโน่ต์เอลิเม้นต์แบบไม่เป็นเชิงเส้น สำหรับชิ้นส่วนคานแบบ C² ที่นิยามด้วยฟังก์ชันโพลีโนเมียลลอนดับห้า (Fifth Polynomial Shape Function) [23], [24] ในการจำลองชิ้นส่วนย่อยของโครงสร้างโดม ร่วมกับกระบวนการทำซ้ำโดยตรงในการหาผลลัพธ์เชิงตัวเลขสำหรับค่าความถี่ธรรมชาติและ荷重ในการสั่นอิสระ เนื่องจากชิ้นส่วนดังกล่าวมีความต่อเนื่องจากผังร่องน้ำพื้นที่สอง สามารถนิยามความเครียดเนื่องจากผลของเมมเบรนและโมเมนต์ดัดได้ ในขณะที่ชิ้นส่วนแบบ C¹ ที่นิยามด้วยฟังก์ชันโพลีโนเมียลลอนดับสาม (Cubic Polynomial Shape Function) [20], [22] ไม่สามารถจำลองชิ้นส่วนของโครงสร้างเปลือกบาง ที่มีผลของความเครียดเนื่องจากโมเมนต์ดัดได้

2. วิธีการวิจัย

วิธีการวิจัยในบทความนี้ จะประกอบไปด้วยสมมติฐานที่ใช้ในการวิเคราะห์ แบบจำลองโครงสร้าง ความสัมพันธ์ระหว่างความเครียดและความโค้งกับการเสียรูป พลังงานความเครียด เนื่องจากผลของเมมเบรนและโมเมนต์ดัดของโครงสร้างโดมรูปทรงกลมที่มีความหนาแปรเปลี่ยนงานเนื้อในเนื่องจากแรงเฉือน ผลกระทบของงานเนื้อ และสุดท้ายการหาผลลัพธ์เชิงตัวเลขสำหรับค่าความถี่ธรรมชาติและ荷重 การสั่นอิสระโดยใช้วิธีไฟโน่ต์เอลิเม้นต์แบบไม่เป็นเชิงเส้น ดังต่อไปนี้

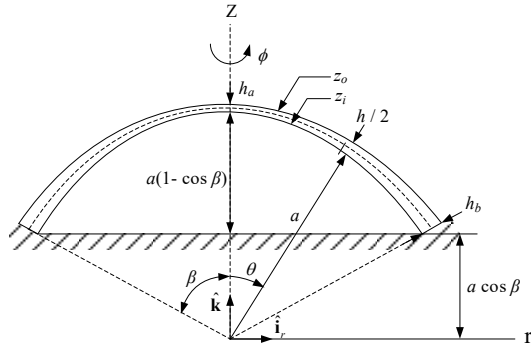
2.1 สมมติฐานที่ใช้ในการวิเคราะห์

2.1.1 วัสดุของโครงสร้างโดมมีสมบัติยึดหยุ่นแบบเชิงเส้น (Linearly Elastic Material)

2.1.2 ความหนาของโครงสร้างโดมเปลี่ยนแปลงตามแนวพิกัดเมอร์ริเดียนเท่านั้น และมีค่าคงที่ไม่มีการเปลี่ยนแปลงทั้งก่อนและหลังการสั่น

2.2 พารามิเตอร์ของพื้นผิวโครงสร้างโดม

การศึกษาพฤติกรรมการสั่นอิสระด้วยแอมพลิจูดขนาดใหญ่ของโครงสร้างโดมรูปทรงกลมที่มีความหนาแปรเปลี่ยน



รูปที่ 1 รูปทรงเรขาคณิตของโครงสร้างโดมรูปทรงกลม

จะมีค่าพารามิเตอร์ ดังแสดงในรูปที่ 1

กำหนดให้ $(\hat{i}, \hat{j}, \hat{k})$ เป็นเวกเตอร์หนึ่งทิศทาง ที่มีทิศทางตามแนวแกนในระบบพิกัดฉาก (X, Y, Z) ตามลำดับ ดังนั้น เวกเตอร์ระบุตำแหน่ง (Position Vector) ของพื้นผิว โครงสร้างโดมรูปทรงกลม สามารถนิยามได้จากสมการที่ (1)

$$\mathbf{R}(\theta, \phi) = a \sin \theta \cos \phi \hat{i} + a \sin \theta \sin \phi \hat{j} + a \cos \theta \hat{k} \quad (1)$$

เมื่อ a คือ ความยาวรัศมีของโครงสร้างโดมรูปทรงกลม และ (θ, ϕ) คือ ค่าพารามิเตอร์ของพื้นผิวที่วัดตามแนวเส้นพิกัดเมอร์ริเดียนและลงจิจูด ตามลำดับ โดยที่ความหนาของโครงสร้างโดมมีค่าเปลี่ยนแปลง ตามแนวพิกัดเส้นเมอร์ริเดียน ดังสมการที่ (2)

$$h(\theta) = h_a + (h_b - h_a)(\theta/\beta) \quad (2)$$

เมื่อ β คือ ค่ามุมที่ร่องรับส่วนโค้ง และ (h_a, h_b) คือ ความหนาที่ตำแหน่งจุดยอด (Apex) และที่ฐานรองรับแบบยึดแน่น (Fixed Support) ตามลำดับ เมื่อโครงสร้างโดมเกิดการสั่นภายใต้แรงกระทำแบบพลศาสตร์ (Dynamic Loading) สองผลทำให้พื้นผิว S_r เคลื่อนที่ไปยังพื้นผิว S_d ดังนั้น ค่าเวกเตอร์ระบุตำแหน่งที่พื้นผิว S_d จะมีค่า ดังสมการที่ (3)

$$\mathbf{R}^*(\theta, \phi, t) = \mathbf{R}(\theta, \phi) + \mathbf{q}(\theta, \phi, t) \quad (3)$$



เมื่อ $q(\theta, \phi, t)$ คือ เวกเตอร์การเสียรูป (Displacement Vector) จากพื้นผิว S_r ไปยังพื้นผิว S_d ซึ่งสัมพันธ์กับระยะเวลา t ดังนั้น เวกเตอร์การเสียรูป จะสามารถนิยามได้ดังสมการที่ (4)

$$\mathbf{q}(\theta, \phi, t) = \left(\frac{\mathbf{R}_\theta}{A} \right) u + \left(\frac{\mathbf{R}_\phi}{B} \right) v + \left(\frac{\mathbf{R}_\theta \times \mathbf{R}_\phi}{AB} \right) w \quad (4)$$

ในที่นี้ตัวห้อย (θ, ϕ) แสดงถึงอนุพันธ์ย่อตามแนวระบบพิกัดของโครงสร้างโดม และ (u, v, w) คือ องค์ประกอบของระยการเสียรูปในแนวเส้นสัมผัส เส้นล่องจิจุด และแนวเส้นตั้งจาก ตามลำดับ ดังนั้นค่าความเร็วและค่าความเร่งของโครงสร้างโดยรูปทรงกลม สามารถคำนวณได้โดยการอนุพันธ์สมการที่ (4) เทียบกับเวลา (t) ดังสมการที่ (5)–(6)

$$\mathbf{V}(\theta, \phi, t) = \left(\frac{\mathbf{R}_\theta}{A} \right) \dot{u} + \left(\frac{\mathbf{R}_\phi}{B} \right) \dot{v} + \left(\frac{\mathbf{R}_\theta \times \mathbf{R}_\phi}{AB} \right) \dot{w} \quad (5)$$

$$\mathbf{a}(\theta, \phi, t) = \left(\frac{\mathbf{R}_\theta}{A} \right) \ddot{u} + \left(\frac{\mathbf{R}_\phi}{B} \right) \ddot{v} + \left(\frac{\mathbf{R}_\theta \times \mathbf{R}_\phi}{AB} \right) \ddot{w} \quad (6)$$

เนื่องจากเป็นการสัมประสิทธิ์แบบสมมาตรตามแนวแกน (Axisymmetric Vibration) ดังนั้นค่า (v, \dot{v}, \ddot{v}) ในสมการที่ (4)–(6) จะมีค่าเป็นศูนย์ จากหลักการเรขาคณิตเชิงอนุพันธ์ (Differential Geometry) [19], [20] สามารถคำนวณหาค่าพารามิเตอร์ (A, B) ได้ดังสมการที่ (7) – (8)

$$A = \sqrt{\mathbf{R}_\theta \cdot \mathbf{R}_\theta} = a \quad (7)$$

$$B = \sqrt{\mathbf{R}_\phi \cdot \mathbf{R}_\phi} = a \sin \theta \quad (8)$$

ในกรณีที่เป็นการสัมประสิทธิ์แบบสมมาตรตามแนวแกน (Axisymmetric Vibration) สามารถคำนวณค่าความโค้งหลัก (Principal Curvatures) ได้ดังสมการที่ (9)–(10)

$$\kappa_1 = \frac{L}{A^2} \quad (9)$$

$$\kappa_2 = \frac{N}{B^2} \quad (10)$$

เมื่อค่าพารามิเตอร์ (L, N) สามารถนิยามได้ด้วยสมการที่ (11) – (12)

$$L = \mathbf{R}_{\theta\theta} \cdot \frac{\mathbf{R}_\theta \times \mathbf{R}_\phi}{|\mathbf{R}_\theta \times \mathbf{R}_\phi|} \quad (11)$$

$$N = \mathbf{R}_{\phi\phi} \cdot \frac{\mathbf{R}_\theta \times \mathbf{R}_\phi}{|\mathbf{R}_\theta \times \mathbf{R}_\phi|} \quad (12)$$

2.3 ความสัมพันธ์ระหว่างความเครียดและความโค้งกับระยการเสียรูป

ความสัมพันธ์ของความเครียดกับระยการเสียรูปตามนิยามความเครียดแบบลากรอง (Lagrangian Strains) [25] สามารถนิยามได้ในรูปแบบดัชนี (Index Form) ดังสมการที่ (13)

$$\boldsymbol{\epsilon}_i = [\mathbf{L}_i] \{ \mathbf{g} \} + \frac{1}{2} \{ \mathbf{g} \}^T [\mathbf{H}_i] \{ \mathbf{g} \} \quad (13)$$

กำหนดให้ $\{ \mathbf{g} \}^T = [u \ w \ u_\theta \ w_\theta \ u_{\theta\theta} \ w_{\theta\theta}]$ ดังนั้นเวกเตอร์ความเครียด $[\mathbf{L}_i]$ และ เมตริกซ์ความเครียด $[\mathbf{H}_i]$ สามารถนิยามได้ดังสมการที่ (14)–(17)

$$\{ \mathbf{L}_1 \}^T = \begin{bmatrix} 0 & -\frac{L}{A^2} & \frac{1}{A} & 0 & 0 & 0 \end{bmatrix} \quad (14)$$

$$\{ \mathbf{L}_2 \}^T = \begin{bmatrix} \frac{B_\theta}{AB} & -\frac{N}{B^2} & 0 & 0 & 0 & 0 \end{bmatrix} \quad (15)$$

$$[\mathbf{H}_1] = \frac{1}{A^2} \begin{bmatrix} \left(\frac{L}{A} \right)^2 & 0 & 0 & \frac{L}{A} & 0 & 0 \\ 0 & \left(\frac{L}{A} \right)^2 & -\frac{L}{A} & 0 & 0 & 0 \\ 0 & 0 & -\frac{L}{A} & 1 & 0 & 0 \\ \frac{L}{A} & 0 & 0 & 1 & 0 & 0 \\ 0 & 0 & 0 & 0 & 0 & 0 \\ 0 & 0 & 0 & 0 & 0 & 0 \end{bmatrix} \quad (16)$$



$$[H_2] = \frac{1}{B^2} \begin{bmatrix} \left(\frac{B_\theta}{A}\right)^2 & -\frac{B_\theta N}{AB} & 0 & 0 & 0 & 0 \\ -\frac{B_\theta N}{AB} & \left(\frac{N}{B}\right)^2 & 0 & 0 & 0 & 0 \\ 0 & 0 & 0 & 0 & 0 & 0 \\ 0 & 0 & 0 & 0 & 0 & 0 \\ 0 & 0 & 0 & 0 & 0 & 0 \\ 0 & 0 & 0 & 0 & 0 & 0 \end{bmatrix} \quad (17)$$

ในที่นี้ $A_\theta = 0$ และ $B_\theta = a \cos \theta$ ซึ่งคำนวนได้จากสมการที่ (7) และ (8) ตามลำดับ สำหรับการเปลี่ยนแปลงค่าความโค้งของพื้นผิวที่เกิดจากความหนาของโครงสร้างโดยเนื่องจากผลของโมเมนต์ดัด จะมีค่าดังสมการที่ (18)

$$\kappa_i = \lfloor S_i \rfloor \{g\} \quad (18)$$

เมื่อ $\lfloor S_i \rfloor$ คือ เวกเตอร์ค่าความโค้งหลัก มีค่าดังสมการที่ (19) – (20)

$$\{S_1\}^T = \begin{bmatrix} 0 & 0 & 0 & \frac{A_x}{A^3} & 0 & -\frac{1}{A^2} \end{bmatrix} \quad (19)$$

$$\{S_2\}^T = \begin{bmatrix} 0 & 0 & 0 & -\frac{B_x}{A^2 B} & 0 & 0 \end{bmatrix} \quad (20)$$

2.4 พลังงานความเครียดของโครงสร้างโดย

ค่าพลังงานความเครียดของโครงสร้างโดย จะแบ่งออกเป็น 2 เทอม คือ ผลของเมมเบรน (Membrane) และโมเมนต์ดัด (Bending) สำหรับโครงสร้างโดยที่มีสมบัติยืดหยุ่นแบบเชิงเส้นทั่วไป จะคำนวนค่าความเครียดเนื่องจากเมมเบรนได้ดังสมการที่ (21)

$$U_m = \frac{1}{2} \int_{\theta_1}^{\theta_2} \int_0^{2\pi} \{\varepsilon\}^T [C'] \{\varepsilon\} A B d\phi d\theta \quad (21)$$

เมื่อ $[C']$ คือ เมตริกซ์ความแข็งแกร่งเนื่องจากการยืดหดตัว (Extensional Rigidity) ซึ่งสามารถเขียนได้ดังสมการที่ (22)

$$[C'] = \frac{E' h(\theta)}{1-\mu^2} \begin{bmatrix} 1 & \mu \\ \mu & 1 \end{bmatrix} \quad (22)$$

เมื่อ $h(\theta)$ คือ ความหนาของโครงสร้างที่มีการเปลี่ยนแปลงตามแนวพิกัดเมอร์ริเดียน, E' คือ modulus อีลסטיซิตี้ (Elastic Modulus) และ μ คือ อัตราส่วนปัวซง (Poisson's Ratio) สมการที่ (21) สามารถจัดรูปใหม่ในทอ姆ของค่าการประพัน ได้ดังสมการที่ (23)

$$\delta U_m = 2\pi \int_{\theta_1}^{\theta_2} \delta \{g\}^T ([k_m] + [n_{1m}] + [n_{2m}]) \{g\} d\theta \quad (23)$$

เมื่อ $[k_m]$, $[n_{1m}]$ และ $[n_{2m}]$ สามารถนิยามได้จากสมการที่ (24)–(26)

$$[k_m] = \sum_{i=1}^2 \sum_{j=1}^2 C'_{ij} (\{L_i\} \{L_j\}^T) \quad (24)$$

$$[n_{1m}] = \frac{1}{2} \sum_{i=1}^2 \sum_{j=1}^2 C'_{ij} \begin{bmatrix} (\{L_i\} \{g\}^T) [H_j] \\ + (\{g\}^T \{L_i\}) [H_j] \\ + [H_i] (\{g\} \{L_j\}^T) \end{bmatrix} \quad (25)$$

$$[n_{2m}] = \frac{1}{3} \sum_{i=1}^2 \sum_{j=1}^2 C'_{ij} \begin{bmatrix} [H_i] (\{g\} \{g\}^T) [H_j] \\ + \frac{1}{2} (\{g\}^T [H_j] \{g\}) [H_i] \end{bmatrix} \quad (26)$$

สำหรับค่าความเครียดเนื่องจากโมเมนต์ดัด ของโครงสร้างโดยที่มีสมบัติยืดหยุ่นแบบเชิงเส้นทั่วไป จะคำนวนได้ดังสมการที่ (27)

$$U_b = \frac{1}{2} \int_{\theta_1}^{\theta_2} \int_0^{2\pi} \{\kappa\}^T [D'] \{\kappa\} A B d\phi d\theta \quad (27)$$

เมื่อ $[D']$ คือ เมตริกซ์ความแข็งแกร่งเนื่องจากการตัด (Flexural Rigidity) ซึ่งสามารถเขียนได้ดังสมการที่ (28)

$$[D'] = \frac{E' h^3(\theta)}{12(1-\mu^2)} \begin{bmatrix} 1 & \mu \\ \mu & 1 \end{bmatrix} \quad (28)$$



สมการที่ (27) สามารถจัดรูปใหม่ในเทอมของค่า การแปรผันได้ดังสมการที่ (29)

$$\delta U_b = 2\pi \int_{\theta_1}^{\theta_2} \delta\{g\}^T [k_b] \{g\} d\theta \quad (29)$$

เมื่อ $[k_b]$ สามารถนิยามได้จากสมการที่ (30)

$$[k_b] = \sum_{i=1}^2 \sum_{j=1}^2 D'_{ij} (\{S_i\} \{S_j\}^T) \quad (30)$$

2.5 งานเสมีอนเนื่องจากแรงเฉือนของโครงสร้างโดย

งานเสมีอนเนื่องจากแรงเฉือนของโครงสร้างโดย จำกัดความต้องการสมการที่ (31)

$$\delta I = -2\pi \int_{\theta_1}^{\theta_2} (\rho_s \ddot{u} \{\delta u\} + \rho_s \ddot{w} \{\delta w\}) h(\theta) AB d\theta \quad (31)$$

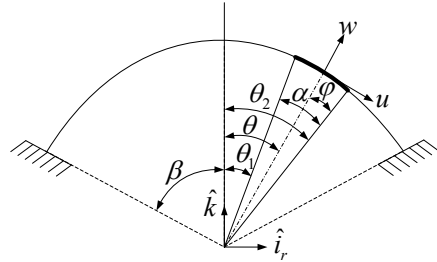
เมื่อ ρ_s คือ ความหนาแน่นของวัสดุโครงสร้างโดย และ (\ddot{u}, \ddot{w}) คือ เวกเตอร์ความเร่งของโครงสร้างตามแนวเส้น เมอร์ริเดียน และแนวตั้งจากกับเส้นเมอร์ริเดียน ตามลำดับ เนื่องจากอัตราส่วนความหนาต่อความยาวรัศมีของโครงสร้าง เปเลือกบางมีค่าไม่เกิน $1/20$ ดังนั้น การเสียรูปจากเนื้องจาก แรงเฉือน (Shear Deformation) และความเฉือนเชิงหมุน (Rotary Inertia) จะไม่นำมาพิจารณาในการคำนวณเสมีอน เนื่องจากแรงเฉือนของโครงสร้าง ส่งผลทำให้ค่าความถี่ ธรรมชาติของโครงสร้างเปลือกบางที่ได้จากการวิจัยมีค่าสูง กว่ากรณีที่คิดผลของการเสียรูปจากเนื้องจากแรงเฉือนและ ความเฉือนเชิงหมุน [26]

2.6 ผลรวมของงานเสมีอน

การคำนวณหาผลตอบสนองค่าความถี่ธรรมชาติ และ โหมดการสั่นอิสระด้วยแอมพลิจูดขนาดใหญ่ของโครงสร้าง โดยรูปทรงกลมที่มีความหนาแปรเปลี่ยนได้จากผลรวมของ งานเสมีอน [21] ดังสมการที่ (32)

$$\delta\pi = \delta U_m + \delta U_b - \delta I \quad (32)$$

แทนค่าจากสมการที่ (23) (29) และ (31) ลงใน สมการที่ (32) จะได้ดังสมการที่ (33)



รูปที่ 2 ขั้นส่วนย่ออย่างทั่วไปและระยะพิกัดของโครงสร้าง

$$\begin{aligned} \delta\pi = & 2\pi \int_{\theta_1}^{\theta_2} \delta\{g\}^T ([k_m] + [n_{1m}] + [n_{2m}]) \{g\} d\theta \\ & + 2\pi \int_{\theta_1}^{\theta_2} \delta\{g\}^T [k_b] \{g\} d\theta \\ & + 2\pi \int_{\theta_1}^{\theta_2} (\{\delta u\} \rho_s \ddot{u} + \{\delta w\} \rho_s \ddot{w}) h AB d\theta \end{aligned} \quad (33)$$

2.7 วิธีไฟโน๊ตอเลี่ยมเน็ต

จากการรวมของงานเสมีอนของระบบโครงสร้างโดย ดังแสดงในสมการที่ (33) จะพบว่า ไม่สามารถคำนวณหาผล เฉลยแบบแม่นตรงได้ เนื่องจากสมการดังกล่าวประกอบ ไปด้วยเทอมที่มีค่าอนข้างสูง ดังนั้น จึงจำเป็นต้องอาศัย ระเบียบวิธีเชิงตัวเลข คือ วิธีไฟโน๊ตอเลี่ยมเน็ตแบบไม่เป็นเชิงเส้น [23]–[24] ในการทำผลลัพธ์เชิงตัวเลข โดยการแบ่งชิ้นส่วน ของโครงสร้างโดยตามแนวพิกัดเมอร์ริเดียน ดังแสดงในรูปที่ 2 ซึ่งจะได้ค่าประมาณการเสียรูป ดังสมการที่ (34)

$$\{g\} = [\psi] \{d\} \quad (34)$$

เมื่อ $\{g\}$ คือ เวกเตอร์การเคลื่อนที่ที่จุดต่อ $\{d\}$ คือ เวกเตอร์ของศักยภาพร่องรอย ที่จุดต่อ และ $[\psi]$ คือ เมตริกซ์ พังก์ชันรูปร่างโพลีโนเมียลล้อนดับที่ห้า ซึ่งสามารถนิยามได้ดัง สมการที่ (35)

$$[\psi] = \begin{bmatrix} N_1 & 0 & N_2 & 0 & \dots & 0 \\ 0 & N_1 & 0 & N_2 & \dots & N_6 \\ N_{1,\varphi} & 0 & N_{2,\varphi} & 0 & \dots & 0 \\ 0 & N_{1,\varphi} & 0 & N_{2,\varphi} & \dots & N_{6,\varphi} \\ N_{1,\varphi\varphi} & 0 & N_{2,\varphi\varphi} & 0 & \dots & 0 \\ 0 & N_{1,\varphi\varphi} & 0 & N_{2,\varphi\varphi} & \dots & N_{6,\varphi\varphi} \end{bmatrix} \quad (35)$$



ในที่นี้ฟังก์ชันรูปร่างฟังก์ชันโพลิโนเมียลอันดับที่ θ มีค่าดังสมการที่ (36)–(41)

$$N_1 = 1 - 10 \frac{\varphi^3}{\alpha^3} + 15 \frac{\varphi^4}{\alpha^4} - 6 \frac{\varphi^5}{\alpha^5} \quad (36)$$

$$N_2 = \varphi - 6 \frac{\varphi^3}{\alpha^2} + 8 \frac{\varphi^4}{\alpha^3} - 3 \frac{\varphi^5}{\alpha^4} \quad (37)$$

$$N_3 = \frac{1}{2} \varphi^2 - \frac{3}{2} \frac{\varphi^3}{\alpha} + \frac{3}{2} \frac{\varphi^4}{\alpha^2} - \frac{1}{2} \frac{\varphi^5}{\alpha^3} \quad (38)$$

$$N_4 = 10 \frac{\varphi^3}{\alpha^3} - 15 \frac{\varphi^4}{\alpha^4} + 6 \frac{\varphi^5}{\alpha^5} \quad (39)$$

$$N_5 = -4 \frac{\varphi^3}{\alpha^2} + 7 \frac{\varphi^4}{\alpha^3} - 3 \frac{\varphi^5}{\alpha^4} \quad (40)$$

$$N_6 = \frac{1}{2} \frac{\varphi^3}{\alpha} - \frac{\varphi^4}{\alpha^2} + \frac{1}{2} \frac{\varphi^5}{\alpha^3} \quad (41)$$

จากหลักการของงานนำเสนอ [21] แทนค่าสมการที่ (34) และ (35) ลงไว้ในสมการที่ (33) จะสามารถเขียนในรูปของ สมการการเคลื่อนที่ของโครงสร้างโดยได้ดังสมการที่ (42)

$$[m] \{ \ddot{d} \} + ([k_L] + [k_{NL}]) \{ d \} = \{ 0 \} \quad (42)$$

เมื่อ $[m]$, $[k_L]$ และ $[k_{NL}]$ คือ เมตริกซ์มวลและเมตริกซ์ สติฟเนสแบบเป็นเชิงเส้น และแบบไม่เป็นเชิงเส้น ในขั้น ส่วนอย่าง ตามลำดับ ซึ่งมีค่าดังสมการที่ (43)–(45)

$$\begin{aligned} [m] &= 2\pi \{ \delta u \}^T \int_{x_1}^{x_2} \{ \psi_u \} \rho_s \{ \psi_u \}^T h AB d\theta \\ &\quad + 2\pi \{ \delta w \}^T \int_{x_1}^{x_2} \{ \psi_w \} \rho_s \{ \psi_w \}^T h AB d\theta \end{aligned} \quad (43)$$

$$[k_L] = \int_{\theta_1}^{\theta_2} [\psi]^T ([k_m] + [k_b]) [\psi] d\theta \quad (44)$$

$$[k_{NL}] = \int_{\theta_1}^{\theta_2} [\psi]^T ([n_{1m}] + [n_{2m}]) [\psi] d\theta \quad (45)$$

ในที่นี้จะเห็นได้ว่าดีกรีอิสระของэлемент (Element Degree of Freedom) $\{d\}$ เหมือนกับดีกรีอิสระรวม

(Global Degree of Freedom) $\{Q\}$ ดังนั้น ผลรวมของ งานนำเสนอสำหรับระบบโครงสร้างโดยสามารถได้โดยตรง โดยใช้สมการที่ (42) ซึ่งแสดงได้ดังนี้

$$[\mathbf{M}] \{ \ddot{Q} \} + [\mathbf{K}] \{ Q \} = \{ 0 \} \quad (46)$$

เมื่อ $[\mathbf{M}]$ คือ เมตริกซ์มวลของโครงสร้าง $[\mathbf{K}]$ คือ ผลรวม ของเมตริกซ์สติฟเนสแบบเป็นเชิงเส้น และแบบไม่เป็นเชิงเส้น ของโครงสร้าง $\{Q\}$ คือ เวกเตอร์ความเร่งของโครงสร้าง และ $\{ \ddot{Q} \}$ คือ เวกเตอร์ความเร่งของโครงสร้าง จากหลักการ ของ Prathap และ Varadan [27] การแก้ปัญหาสมการของ การเคลื่อนที่แบบไม่เป็นเชิงเส้นที่ขึ้นกับเวลา จะสามารถทำได้ โดยการลดรูปให้เป็นปัญหาค่าเจาะจงแบบไม่เป็นเชิงเส้น (Nonlinear Eigenvalue Problem) โดยการนิยามสมบัติ ของฟังก์ชันที่มีค่าขั้นอยู่กับเวลาที่จุดอกลับ (Reversal Point) ของการเคลื่อนที่ ดังสมการที่ (47)

$$\{ \ddot{Q} \}_{\max} = -\omega_n^2 \{ Q \}_{\max} \quad (47)$$

เมื่อ ω_n คือ ค่าความถี่ธรรมชาติ (Natural Frequency) ของโครงสร้างโดย กำหนดให้ $\{Q\}_{\max}$ มีค่าดังสมการที่ (48)

$$\{ Q \}_{\max} = a_p \{ \Lambda \} \quad (48)$$

เมื่อ a_p คือ ค่าแอมเพลจูด (Amplitude) ของตำแหน่ง ที่สนใจ และ $\{ \Lambda \}$ คือ ค่าใหม่ของการสั่นที่ทำการปรับขนาด (Normalized Mode Shape) ด้วยสมาชิกที่ตำแหน่งอ้างอิง แทนค่าสมการที่ (48) ลงไว้ในสมการที่ (46) จะได้ว่าเมตริกซ์ ของปัญหาค่าเจาะจงแบบไม่เป็นเชิงเส้น ดังสมการที่ (49)

$$([\mathbf{K}] - \omega_n^2 [\mathbf{M}]) \{ Q \}_{\max} = \{ 0 \} \quad (49)$$

ตำแหน่งอ้างอิงที่นำมาใช้ในการพิจารณาการสั่นอิสระ ด้วยแอมเพลจูดขนาดใหญ่ของโครงสร้างโดยนั้น จะเป็น ตำแหน่งที่เปลี่ยนไปตามสภาพการเคลื่อนที่ โดยที่ตำแหน่ง



อ้างอิงจะเป็นตัวแหน่งสูงสุดของการเคลื่อนที่ของโครงสร้าง โดย ณ สถานะที่ทำการศึกษาขณะนั้น เนื่องจากเป็นปัญหาที่มีความสมมาตร ตามแนวแกน (Axisymmetric Free Vibration) ดังนั้น เนื่องจากขอบเขตที่ตัวแหน่งบนสุดของโครงสร้างโดย จะมีค่าดังสมการที่ (50)

$$u = w_\theta = 0 \quad (50)$$

สำหรับเงื่อนไขที่บริเวณฐานรองรับจะพิจารณาเป็นแบบยึดแน่นอย่างสมบูรณ์ (Fixed Support Condition) โดยกำหนดให้มีค่าดังสมการที่ (51)

$$u = w = w_\theta = 0 \quad (51)$$

2.8 กระบวนการทำข้อโดยตรง

ขั้นตอนการวิเคราะห์การสั่นอิสระด้วยแอมพลิจูดขนาดใหญ่ของโครงสร้างโดย มีขั้นตอนดังนี้

2.8.1 คำนวณเมตริกซ์มวลและเมตริกซ์สติฟเนสแบบเป็นเชิงเส้นในชิ้นส่วนย่อย โดยใช้วิธีไฟโนร์ตอเลิมเนต์

2.8.2 คำนวณเมตริกซ์มวลและเมตริกซ์สติฟเนสแบบเป็นเชิงเส้นของโครงสร้าง โดยการรวมผลของเมตริกซ์ชิ้นส่วนย่อย

2.8.3 คำนวณค่าความถี่ธรรมชาติจากสมการค่าเจาะจงแบบเป็นเชิงเส้น (Linear Eigenvalue Equation)

2.8.4 ทำการปรับขนาดโหมดการสั่น (Normalized Mode Shape) และ คูณด้วยอัตราส่วนแอมพลิจูด (Amplitude Ratio)

2.8.5 คำนวณเมตริกซ์สติฟเนสแบบไม่เป็นเชิงเส้นของโครงสร้าง และรวมผลของเมตริกซ์ชิ้นส่วนย่อย ได้แก่ เมตริกซ์มวล เมตริกซ์สติฟเนสแบบเป็นเชิงเส้นและแบบไม่เป็นเชิงเส้นของโครงสร้าง จากนั้นทำการคำนวณค่าความถี่ธรรมชาติจากสมการค่าเจาะจงแบบไม่เป็นเชิงเส้น (Nonlinear Eigenvalue Equation) ใหม่ ตามกระบวนการทำข้อโดยตรง จนกระทั่งผลต่างของคำตอบในแต่ละรอบการคำนวณมีค่าน้อยกว่า 10^{-5}

3. ผลการทดลอง

การศึกษาเพื่อติดตาม การสั่นอิสระด้วยแอมพลิจูดขนาดใหญ่ของโครงสร้างโดยรูปทรงกลมที่มีความหนาเปลี่ยนไปทุกพื้นที่ โดยใช้หลักการของงานสมมูล และวิธีไฟโนร์ตอเลิมเนต์แบบไม่เป็นเชิงเส้นร่วมกับกระบวนการทำข้อโดยตรงในการหาผลลัพธ์เชิงตัวเลขของค่าความถี่ธรรมชาติ และใหม่ด้วยการสั่นอิสระแบบไม่เป็นเชิงเส้น ในการศึกษาครั้งนี้ จะใช้ค่าพารามิเตอร์และสมบัติของโครงสร้างโดย ดังแสดงในตารางที่ 1 ซึ่งจำเป็นต้องทำการตรวจสอบความถูกต้องของโปรแกรมโดยเริ่มต้นจากการทดสอบผลการคำนวณค่าความถี่ธรรมชาติของโครงสร้างโดยรูปทรงกลมที่มีความหนาเปลี่ยน ด้วยแอมพลิจูดขนาดใหญ่ เพื่อตรวจสอบการถูกต้องของคำตอบ เชิงตัวเลขเนื่องจากผลของจำนวนเอลิเมนต์ ดังแสดงในตารางที่ 2 จากผลการศึกษาจะพบว่า การแบ่งจำนวนชิ้นส่วนออก เป็น 24 ชิ้นส่วน จะให้คำตอบที่มีความถูกต้องสูงถึงทศนิยม ตำแหน่งที่ 3 สำหรับค่าความถี่ธรรมชาติในโหมดที่ $m = 1$ ถึง $m = 10$ เมื่อเปรียบเทียบกับผลที่ได้จากการแบ่งชิ้นส่วนย่อยที่ละเอียดสูงกว่า นี้ ดังนั้น งานวิจัยในบทความนี้จึงเลือกใช้จำนวนชิ้นส่วนเท่ากับ 24 ชิ้นส่วน เท่านั้น

ตารางที่ 1 ข้อมูลและสมบัติที่ใช้ในการวิเคราะห์

รายการ	บริมาณ
ความยาวรัศมี (a)	5 เมตร
ความหนาที่จุดยอด (h_a)	0.05 เมตร
ความหนาที่ฐานรองรับ (h_b)	0.15 เมตร
มุมที่รองรับส่วนโถ้ง (β)	90 องศา
ความหนาแน่นของวัสดุ (ρ_s)	7,850 กก./ ม^3
มอดูลัสยืดหยุ่น (E')	204×10^3 เมกะปascala
อัตราส่วนปั๊วช (μ)	0.3

หลังจากนั้นทำการเปรียบเทียบค่าพารามิเตอร์ความถี่ธรรมชาติของโครงสร้างโดยรูปทรงกลมสำหรับกรณีที่มีความหนาคงที่ตลอดแนวเส้นเมอร์ริเดียนกับค่าความถี่ธรรมชาติแบบเป็นเชิงเส้น (Ω_s) ที่ได้จากการวิจัยที่ผ่านมาในอดีต [6] [9] [10] [28] พพบว่า คำตอบที่ได้มีความใกล้เคียงกันมาก และเมื่อทำการเปรียบเทียบค่าความถี่ธรรมชาติด้วยแอมพลิจูด



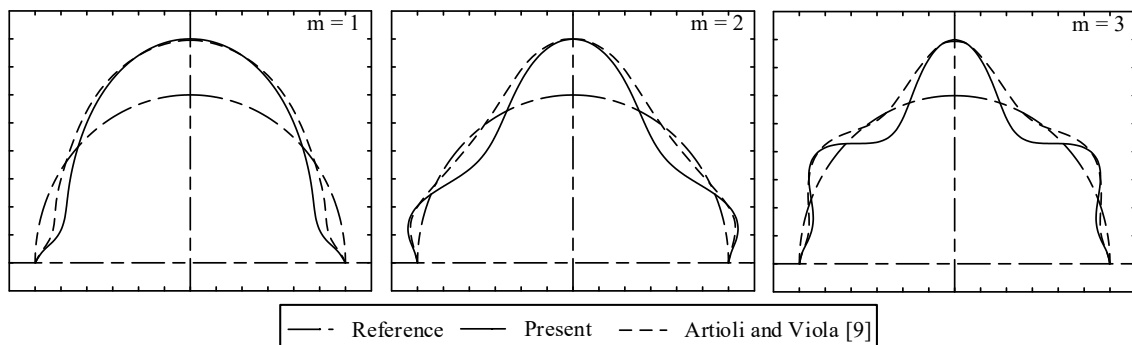
ตารางที่ 2 การถูเข้าคำตอบของค่าความถี่ธรรมชาติโครงสร้างโดมรูปทรงกลมที่มีความหนาแปรเปลี่ยนด้วยแอมพลิจูดขนาดใหญ่

โหมดการสั่น	จำนวนของขั้นส่วนย่อย				
	6	12	18	24	30
$m = 1$	140.658	140.658	140.658	140.658	140.658
$m = 2$	162.211	162.211	162.211	162.211	162.211
$m = 3$	170.993	170.993	170.993	170.993	170.993
$m = 4$	184.288	184.285	184.285	184.285	184.285
$m = 5$	206.965	206.931	206.931	206.931	206.931
$m = 6$	238.468	238.334	238.333	238.333	238.333
$m = 7$	266.793	266.681	266.680	266.680	266.680
$m = 8$	289.738	289.272	289.270	289.270	289.270
$m = 9$	340.682	339.234	339.227	339.226	339.226

ขนาดใหญ่ (Ω_{NL}) กับค่าความถี่ธรรมชาติแบบเป็นเชิงเส้น (Ω_L) จะพบว่า ค่าความถี่ธรรมชาติของโครงสร้างโดมรูปทรงกลมภายใต้การสั่นอิสระด้วยแอมพลิจูดขนาดใหญ่ (Ω_{NL}) จะมีค่าต่ำกว่าค่าความถี่ธรรมชาติแบบเป็นเชิงเส้น (Ω_L) ดังแสดงในตารางที่ 3 นอกจากนี้ยังพบว่า เมื่อโหมดการสั่นมีลำดับสูงขึ้น ค่าความถี่ธรรมชาติภายใต้การสั่นอิสระด้วยแอมพลิจูดขนาดใหญ่ยิ่งมีค่าต่ำกว่าค่าความถี่ธรรมชาติแบบเป็นเชิงเส้น เมื่อเปรียบเทียบกับโหมดการสั่นในลำดับต้น ๆ รูปที่ 3 แสดงการเปรียบเทียบโหมดการสั่นในลำดับที่ 1 ถึง 3 กับงานวิจัยของ Artioli และ Viola [9] ซึ่งได้คิดผลของค่าการเสียรูปเนื่องจากแรงเฉือนอันดับหนึ่ง (First-Order Shear

Deformation Theory) พบว่า มีค่าสอดคล้องกันทุกโหมดการสั่นแต่มีความแตกต่างกันเล็กน้อย เนื่องจากงานวิจัยนี้ไม่ได้คิดผลของค่าการเสียรูปเนื่องจากแรงเฉือน สำหรับโหมดการสั่นอิสระด้วยแอมพลิจูดขนาดใหญ่ ลำดับที่ 1 ถึง 6 ของโครงสร้างโดมรูปทรงกลมที่มีความหนาแปรเปลี่ยน แสดงได้ดังรูปที่ 4

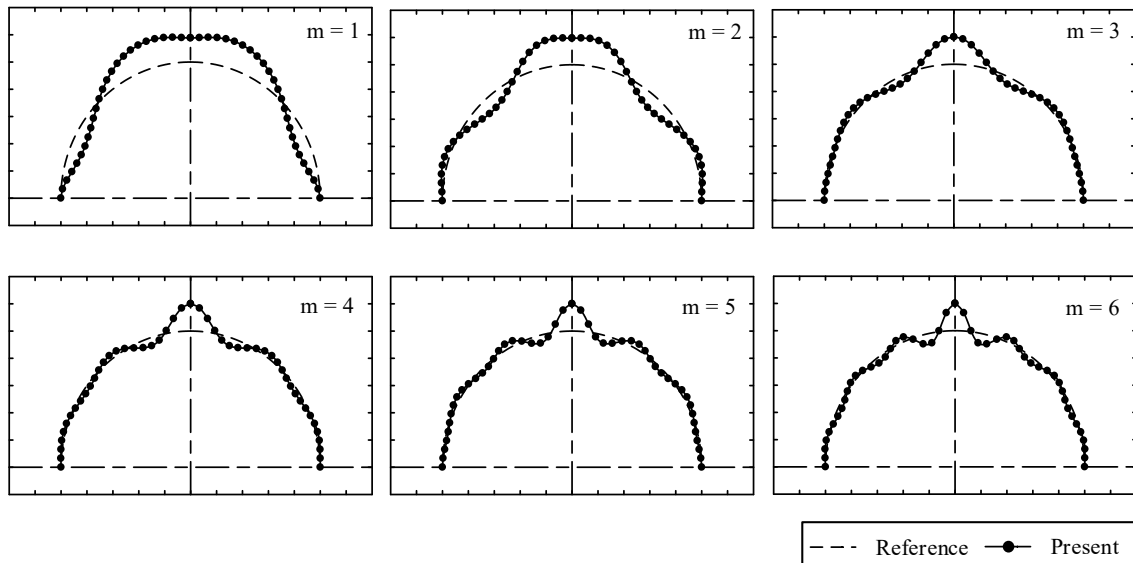
สำหรับค่าแอมพลิจูดสัมพัทธ์ (Relative Amplitude) ที่เกิดขึ้นในโหมดการสั่นอิสระด้วยแอมพลิจูดขนาดใหญ่ ลำดับที่ 1 ถึง 6 ของโครงสร้างโดมรูปทรงกลมที่มีความหนาแปรเปลี่ยนจะแสดงได้ดังรูปที่ 5 ซึ่งพบว่า ค่าที่แอมพลิจูดสูสุดจะเกิดขึ้นที่ตำแหน่งจุดยอด (Apex) ของโครงสร้างโดม



รูปที่ 3 การเปรียบเทียบโหมดการสั่นของโครงสร้างโดมสำหรับกรณีที่มีความหนาคงที่ตลอดแนวเส้นเมอร์ริเดียน

ตารางที่ 3 การเปรียบเทียบค่าพารามิเตอร์ความถี่ธรรมชาติของโครงสร้างโดยสำหรับกรณีที่มีความหนาคงที่ตลอดแนวเส้นเมอร์ริเดียน ($\Omega = \sqrt{\rho_s \omega_n^2 R^2 / E'}$)

โหมดการสั่น	Kunieda [6]	Artioli and Viola [9]	Lee [10]	Kim [28]	งานวิจัยนี้		
					Ω_L	Ω_{NL}	$\frac{\Omega_L - \Omega_{NL}}{\Omega_{NL}} \times 100\%$
$m = 1$	0.760	0.760	0.761	0.761	0.7615	0.7614	0.0165
$m = 2$	0.938	0.938	0.939	0.938	0.9384	0.9382	0.0217
$m = 3$	0.984	0.984	0.985	0.984	0.9844	0.9840	0.0359
$m = 4$	1.020	1.020	1.023	1.021	1.0215	1.0210	0.0521
$m = 5$	1.071	1.070	1.075	1.072	1.0723	1.0715	0.0675



รูปที่ 4 โหมดการสั่นอิสระด้วยแอมเพลจูดขนาดใหญ่ของโครงสร้างโดยรูปทรงกลมที่มีความหนาแน่นเปลี่ยน

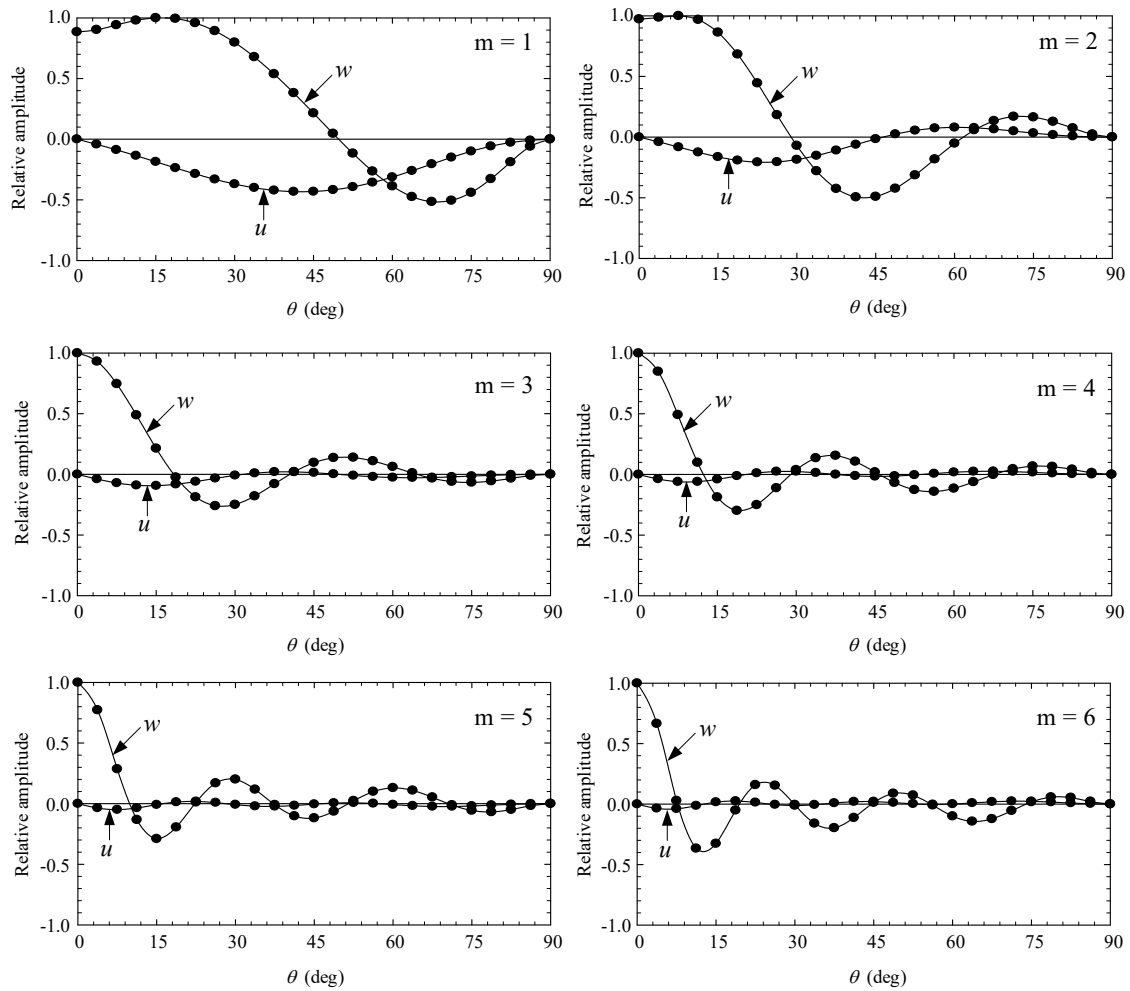
ในเทอมของค่าการเสียรูปในแนวเส้นตั้งฉากกับเส้นเมอร์ริเดียน ในโหมดการสั่นลำดับที่ 2 ถึง 5 ยกเว้นโหมดการสั่นที่ 1 ซึ่งเป็นโหมดพื้นฐาน (Fundamental Mode) พบว่าค่าแอมเพลจูดสัมพัทธ์สูงสุดจะเกิดขึ้นที่ตำแหน่ง $\theta = 90^\circ$ ที่มีค่าเท่ากับ 15 องศา ดังแสดงในรูปที่ 5

จากการตรวจสอบความถูกต้องของแบบจำลองโครงสร้างโดยรูปทรงกลมที่มีความหนาแน่นเปลี่ยนที่ได้จากผลกระทบต่อค่าความถี่ธรรมชาติของโครงสร้างที่ส่งผลกระทบต่อค่าความถี่ธรรมชาติของโครงสร้างโดยรูปทรงกลมภายใต้การสั่นอิสระด้วยแอมเพลจูด

ขนาดใหญ่ ได้แก่ ค่าอัตราส่วนความหนา มุมรองรับส่วนโคง และมอดูลัสสีดหยุน โดยสามารถทำการศึกษาค่าพารามิเตอร์ต่าง ๆ ได้ดังหัวข้อต่อไปนี้

3.1 ผลของการเปลี่ยนค่าอัตราส่วนความหนาที่มีต่อค่าความถี่ธรรมชาติ

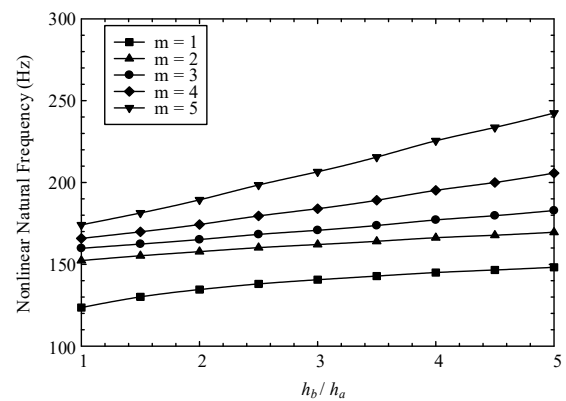
การศึกษาผลกระทบของการเปลี่ยนค่าอัตราส่วนความหนาต่อค่าความถี่ธรรมชาติแบบไม่เป็นเชิงเส้นของโครงสร้างโดยรูปทรงกลมที่มีความหนาแน่นเปลี่ยน ดังแสดงในรูปที่ 6 จะสามารถทำได้โดยการปรับเปลี่ยน



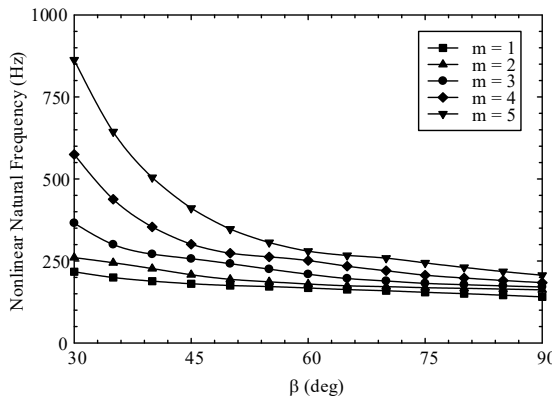
รูปที่ 5 ค่าแอล์ฟลิจูดสัมพัทธ์ของโครงสร้างโดมรูปทรงกลมที่มีความหนาแปรเปลี่ยน

อัตราส่วนความหนา ของโครงสร้างโดม (h_b/h_a) ตั้งแต่ 1.0 ถึง 5.0 โดยที่ความหนาที่จุดยอดของโครงสร้างโดม (h_a) และค่าพารามิเตอร์อื่น ๆ ตามตารางที่ 1 มีค่าคงที่ไม่มีการเปลี่ยนแปลง

จากการศึกษาพบว่า ค่าความถี่ธรรมชาติจะมีค่าเพิ่มสูงขึ้นเมื่อค่าอัตราส่วนความหนา (h_b/h_a) มีค่าเพิ่มสูงขึ้น นั่นคือการเปลี่ยนแปลงค่าความหนาของโครงสร้างจะทำให้ค่าความแข็งแกร่ง (Stiffness) เนื่องจากค่าพลังงานความเครียดในเทอมของเมมเบรนและโมเมนต์ตัดของโครงสร้างโดมมีค่าเพิ่มสูงขึ้นทำให้ค่าความถี่ธรรมชาติมีค่าเพิ่มสูงขึ้นตามไปด้วย นอกจากนี้ยังพบว่า การเปลี่ยนแปลงค่าความถี่ธรรมชาติ



รูปที่ 6 ผลของการแปรเปลี่ยนค่าอัตราส่วนความหนาที่มีต่อค่าความถี่ธรรมชาติ



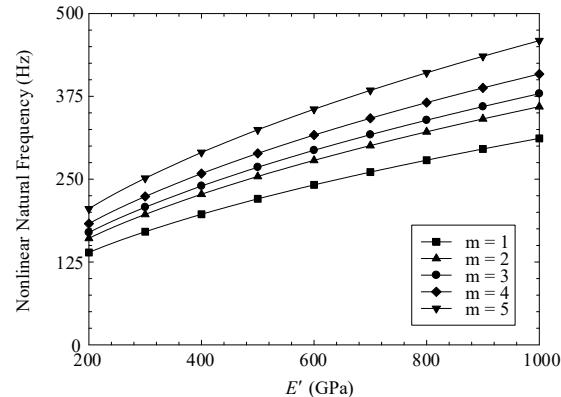
รูปที่ 7 ผลของการแปรเปลี่ยนค่ามุ่งรองรับส่วนโค้งที่มีต่อค่าความถี่ธรรมชาติ

ในห้องทดลองที่ 1 และ 2 มีลักษณะเป็นโค้งคิว กล่าวคือ ค่าความชันของกราฟมีค่าลดลงเมื่อค่าอัตราส่วนความหนา (h_b/h_a) มีค่าเพิ่มสูงขึ้นนั่นเอง

3.2 ผลของการแปรเปลี่ยนค่ามุ่งรองรับส่วนโค้งที่มีต่อค่าความถี่ธรรมชาติ

การวิเคราะห์และออกแบบโครงสร้างโดยในบางกรณีจำเป็นต้องมีการออกแบบในหลากหลายรูปทรง เช่น โครงสร้างโดยทรงตันและทรงลิก ดังนั้น การแปรเปลี่ยนค่ามุ่งรองรับส่วนโค้ง (β) ที่มีผลต่อค่าความถี่ธรรมชาติของโครงสร้างโดยจะเป็นค่าพารามิเตอร์ที่มีความสำคัญในการวิเคราะห์และออกแบบ โดยมีค่าตั้งแต่ 30 ถึง 90 องศา ในขณะที่ค่าพารามิเตอร์อื่น ๆ ในตารางที่ 1 ไม่มีการเปลี่ยนแปลง

จากการศึกษาพบว่า ค่าความถี่ธรรมชาติจะมีค่าลดลงอย่างรวดเร็วเมื่อค่ามุ่งรองรับส่วนโค้งมีค่าน้อย และค่าความถี่ธรรมชาติจะเริ่มลดลงอย่างช้า ๆ เมื่อขนาดมุ่งรองรับส่วนโค้งมีค่าสูงขึ้น ดังแสดงในรูปที่ 7 ดังนั้น ในช่วงที่โครงสร้างโดยมีลักษณะเป็นรูปทรงตันจะพบว่า ค่าความถี่ธรรมชาติมีการเปลี่ยนแปลงค่อนข้างสูงกว่าช่วงที่โครงสร้างโดยมีลักษณะเป็นรูปทรงลิก นอกจากนี้ยังพบว่า ค่าอัตราส่วนความเข็งแกร่งต่อมวลของโครงสร้างโดยทรงตันจะมีค่าสูงกว่าโครงสร้างโดยทรงลิกนั่นเอง



รูปที่ 8 ผลของการแปรเปลี่ยนค่ามอดุลลสยีดหยุ่นที่มีต่อค่าความถี่ธรรมชาติ

3.3 ผลของการแปรเปลี่ยนค่ามอดุลลสยีดหยุ่นที่มีต่อค่าความถี่ธรรมชาติ

สำหรับค่าพารามิเตอร์สุดท้ายที่จะนำเสนอในบทวานี้คือ ผลของการแปรเปลี่ยนค่ามอดุลลสยีดหยุ่นที่มีต่อค่าความถี่ธรรมชาติ โดยที่ค่าพารามิเตอร์อื่น ๆ ในตารางที่ 1 ไม่มีการเปลี่ยนแปลง

จากการศึกษาพบว่า เมื่อค่ามอดุลลสยีดหยุ่น (E') มีค่าเพิ่มสูงขึ้น ค่าความถี่ธรรมชาติจะมีค่าเพิ่มสูงขึ้น นั่นคือ โครงสร้างโดยจะมีค่าความเข็งแกร่งของโครงสร้างโดยเพิ่มสูงขึ้นส่งผลทำให้ค่าความถี่ธรรมชาติมีค่าเพิ่มสูงขึ้นตามไปด้วย นอกจากนี้ยังพบว่า ความชันของค่าความถี่ธรรมชาติ มีค่าลดลงเมื่อค่ามอดุลลสยีดหยุ่นมีค่าเพิ่มสูงขึ้นในทุกโหนด การสั่น ดังแสดงในรูปที่ 8

4. อภิปรายผลและสรุป

การศึกษาพฤติกรรมการสั่นอิสระด้วยแบบพลวตขนาดใหญ่ของโครงสร้างโดยรูปทรงกลมที่มีความหนาแปรเปลี่ยนโดยที่ฟังก์ชันความหนาของโครงสร้างโดยเขียนในเทอมของค่าพารามิเตอร์พื้นผิวและพลังงานความเครียด เนื่องจากเมมเบรนและโมเมนต์ตัดถูกนำมาพิจารณาในสมการแปรผันการหาผลลัพธ์เชิงตัวเลขได้ใช้วิธีไฟโนต์เอลิเมนต์แบบไม่เป็นเชิงเส้นสำหรับชิ้นส่วนคานแบบ C² ร่วมกับกระบวนการทำซ้ำโดยตรง ผลการศึกษาพบว่า การแปรเปลี่ยนความหนาของ



โครงสร้างโดมในแนวพิกัดเมอร์เดียนส่งผลกระทบโดยตรงต่อค่าความถี่ธรรมชาติของโครงสร้างโดม นั่นคือค่าความถี่ธรรมชาติมีค่าสูงกว่ากรณีที่ความหนาของโครงสร้างโดมมีค่าคงที่ไม่มีการเปลี่ยนตลอดแนวพิกัดเมอร์เดียน ในขณะที่荷载การสั่นจะมีลักษณะใกล้เคียงกัน นอกจากนี้ยังพบว่าค่าความถี่ธรรมชาติของโครงสร้างโดมมีค่าลดลงเมื่อค่ามุมรองรับส่วนโถมมีค่าสูงขึ้น คือ ค่าอัตราส่วนความแข็งแกร่งต่อมวลของโครงสร้างโดมรูปทรงตื้นมีค่าสูงกว่าโครงสร้างโดมรูปทรงลึก สุดท้ายเป็นการศึกษาการเปลี่ยนค่าดูดลักษณะหยุดหย่อน ซึ่งพบว่า ค่าความถี่ธรรมชาติของโครงสร้างโดมมีค่าสูงขึ้นเมื่อค่าดูดลักษณะหยุดหย่อนมีค่าสูงขึ้น เนื่องจากโครงสร้างโดมมีค่าความแข็งแกร่งเพิ่มสูงขึ้น

ผลการศึกษาที่ได้จากการวิจัยนี้สามารถนำไปประยุกต์ใช้ในการวิเคราะห์พฤติกรรมการสั่นอิสระของโครงสร้างเปลือกบางรูปทรงห่วงยางและรูปทรงพาราโบลาที่มีความหนาเปลี่ยนได้ รวมถึงโครงสร้างเปลือกบางที่ทำจากวัสดุคอมโพสิต (Composite Material) ได้

5. กิตติกรรมประกาศ

โครงการวิจัยได้รับการสนับสนุนจากกองทุนส่งเสริมวิทยาศาสตร์วิจัยและนวัตกรรม ตามสัญญาเลขที่ FF66-P1-090

เอกสารอ้างอิง

- [1] H. Kunieda, "Classical buckling load of spherical domes under uniform pressure," *Journal of Engineering Mechanics*, vol. 118, no. 8, pp. 1513–1525, 1992.
- [2] Y. Yasuzawa, "Structural response of underwater half drop shaped shell," presented at the Proceedings of the 3rd International Offshore and Polar Engineering Conference, Singapore, Jun. 6–11, 1993.
- [3] C. M. Wang, K. K. Vo, and Y. H. Chai, "Membrane analysis and minimum weight design of submerged spherical domes," *Journal of Structural Engineering*, vol. 132, no. 2, pp. 253–259, 2006.
- [4] W. Jiammeepreecha, S. Chucheepsakul, and T. Huang, "Nonlinear static analysis of deep water axisymmetric spherical half drop shell," *KMUTT Research and Development Journal*, vol. 37, no. 2, pp. 239–255, 2014 (in Thai).
- [5] W. Jiammeepreecha, S. Chucheepsakul, and T. Huang, "Nonlinear static analysis of an axisymmetric shell storage container in spherical polar coordinates with constraint volume," *Engineering Structures*, vol. 68, pp. 111–120, 2014.
- [6] H. Kunieda, "Flexural axisymmetric free vibrations of a spherical dome: Exact results and approximate solutions," *Journal of Sound and Vibration*, vol. 92, no. 1, pp. 1–10, 1984.
- [7] A. W. Leissa, *Vibration of Shells*. reprinted by The Acoustical Society of America, 1993.
- [8] B. P. Gautham and N. Ganesan, "Free vibration characteristics of isotropic and laminated orthotropic spherical caps," *Journal of Sound and Vibration*, vol. 204, no. 1, pp. 17–40, 1997.
- [9] E. Artioli and E. Viola, "Free vibration analysis of spherical caps using a G.D.Q. numerical solution," *Journal of Pressure Vessel Technology*, vol. 128, no. 3, pp. 370–378, 2006.
- [10] J. Lee, "Free vibration analysis of spherical caps by the pseudospectral method," *Journal of Mechanical Science and Technology*, vol. 23, no. 1, pp. 221–228, 2009.
- [11] T. A. Duffey, J. E. Pepin, A. N. Robertson, M. L. Steinzig, and K. Coleman, "Vibrations of complete spherical shells with imperfections," *Journal of Vibration and Acoustics*, vol. 129, no. 3, pp. 363–370, 2007.



- [12] J. P. Wilkinson, "Natural frequencies of closed spherical shells," *The Journal of the Acoustical Society of America*, vol. 38, no. 2, pp. 367–368, 1965.
- [13] A. Bryan, "Free vibration of thin spherical shells," *Journal of Vibration and Acoustics*, vol. 139, no. 6, pp. 061020-1–061020-6, 2017.
- [14] T. K. Varadan and K. A. V. Pandalai, "Nonlinear flexural oscillations of orthotropic shallow spherical shells," *Computer and Structures*, vol. 9, no. 4, pp. 417–425, 1978.
- [15] G. C. Sinharay and B. Banerjee, "Large amplitude free vibrations of shallow spherical shell and cylindrical shell – A new approach," *International Journal of Non-Linear Mechanics*, vol. 20, no. 2, pp. 69–78, 1985.
- [16] M. Sathyamoorthy, "Nonlinear vibrations of moderately thick orthotropic shallow spherical shells," *Computer and Structures*, vol. 57, no. 1, pp. 59–65, 1995.
- [17] W. Jiammepreecha and S. Chucheepsakul, "Nonlinear axisymmetric free vibration analysis of liquid-filled spherical shell with volume constraint," *Journal of Vibration and Acoustics*, vol. 139, no. 5, pp. 051016-1–051016-13, 2017.
- [18] W. Jiammepreecha and S. Chucheepsakul, "Nonlinear free vibration of internally pressurized axisymmetric spherical shell," *KMUTT Research and Development Journal*, vol. 40, no. 4, pp. 509–532, 2017 (in Thai).
- [19] H. L. Langhaar, *Foundations of Practical Shell Analysis*, Illinois: Department of Theoretical and Applied Mechanics, University of Illinois at Urbana-Champaign, 1964.
- [20] K. Chaidachatorn, W. Jiammepreecha, and S. Jamnam, "Axisymmetric and antisymmetric free vibrations of inflated toroidal membrane," *The Journal of KMUTNB*, vol. 31, no. 4, pp. 661–674, 2021 (in Thai).
- [21] H. L. Langhaar, *Energy Methods in Applied Mechanics*, New York : John Wiley & Sons, Inc., 1962.
- [22] K. Chaidachatorn, W. Jiammepreecha, and S. Jamnam, "Axisymmetric free vibration of semi liquid-containment toroidal shell," *Journal of Engineering and Innovation*, vol. 15, no. 2, pp. 48–61, 2022 (in Thai).
- [23] R. D. Cook, D. S. Malkus, M. E. Plesha, and R. J. Witt, *Concepts and Applications of Finite Element Analysis*, New York: John Wiley & Sons, Inc., 2002.
- [24] W. Jiammepreecha, K. Chaidachatorn, and S. Chucheepsakul, "Nonlinear static response of an underwater elastic toroidal storage container," *International Journal of Solids and Structures*, vol. 228, pp. 111134-1–111134-12, 2021.
- [25] G. T. Mase and G. E. Mase, *Continuum Mechanics for Engineers*, Florida: CRC Press, 1999.
- [26] M. S. Qatu, *Vibration of Laminated Shells and Plates*, San Diego, CA: Academic Press Inc, 2004.
- [27] G. Prathap and T. K. Varadan, "The large amplitude vibration of hinged beams," *Computer and Structures*, vol. 9, no. 2, pp. 219–222, 1978.
- [28] J. G. Kim, "A higher-order harmonic element for shells of revolution based on the modified mixed formulation," Ph.D. dissertation, Department of Mechanical Design and Production Engineering, Seoul National University, Seoul, South Korea, 1998.

